

## 二成分系水溶液の希釀に伴う体積変化に関する考察（2）

— 塩化ナトリウム水溶液および塩化カリウム水溶液 —

中川徹夫

Consideration on Volume Change in Diluting Binary Aqueous Solutions, Part 2:  
Aqueous Sodium Chloride and Potassium Chloride Solutions

NAKAGAWA Tetsuo

## 要　旨

一般に、希釈前の溶液と溶媒の体積の和は、希釈後の溶液の体積の値にはならない。すなわち、溶液の希釈に伴い体積の加成性は破綻する。二成分系溶液の希釈後の体積 ( $V_M$ ) の推算方法に関してはすでに誘導した。本研究では、これを用いて、20°Cで塩化ナトリウム (NaCl) および塩化カリウム (KCl) 水溶液を水で希釈した場合の  $V_M$  の値を推算した。希釈前の NaCl および KCl 水溶液の濃度は、溶質の質量分率でそれぞれ 0-0.2600, 0-0.2400 とした。希釈前の溶液と溶媒の体積比は、1.000 mL : 9.000 mL, 3.000 mL : 7.000 mL, 5.000 mL : 5.000 mL, 7.000 mL : 3.000 mL, 9.000 mL : 1.000 mL とした。いずれの水溶液も、希釈前の溶液の濃度の増加とともに  $V_M$  は減少した。混合の体積比が 5.000 mL : 5.000 mL の場合に  $V_M$  は最小値を示し、その値は、NaCl 水溶液では 9.959 mL、KCl 水溶液では 9.975 mL であった。これらの体積変化はいずれも微小であり、マイクロスケール実験でも検出できない程度であったが、希釈に伴う有意な体積の減少が認められた。本手法は単純かつ容易であり、高校理科（物理・化学）の教材として有用である。

**キーワード：**二成分系水溶液、希釈、体積変化、マイクロスケール実験、塩化ナトリウム、塩化カリウム

## Abstract

In general, the total volume of an original solution and an added solvent is not equal to that of its diluted solution. That is, the additivity of volume does not hold when a solution is diluted with a solvent. In our previous paper, the method of estimating the volume of a diluted binary solution ( $V_M$ ) has already been derived. In this study, our method is applied to sodium chloride (NaCl) and potassium chloride (KCl) aqueous solutions in order to estimate the  $V_M$  values diluting these solutions with water at 20°C. The concentration ranges of original NaCl and KCl aqueous solutions are 0-0.2600 and 0-0.2400 mass fractions of solutes respectively. The volume ratios of the original solution to the added solvent are 1.000 mL: 9.000 mL, 3.000 mL: 7.000 mL, 5.000 mL: 5.000 mL, 7.000 mL: 3.000 mL, and 9.000 mL: 1.000 mL. For both solutions, as the concentrations of the original solution are increasing, the  $V_M$  values are decreasing, and their minimums are 9.959 mL for NaCl aqueous solution and 9.975 mL for KCl aqueous one at the ratio 5.000 mL: 5.000 mL. Although these volume changes are too small to be detected using our microscale experiments, the obvious volume decreases are recognized after diluting original solutions. Our method is very simple and easy, and therefore it is useful as teaching material for high school science (physics and chemistry).

**Key words:** binary aqueous solution, dilution, volume change, microscale experiment, sodium chloride, potassium chloride

## 1 はじめに

一般に液体や溶液を混合した場合、混合前の体積の総和は、混合後の体積にはならない。換言すれば、液体や溶液は混合に伴い、体積の加成性が破綻する。とりわけ、混合に伴い体積が減少する場合が多い。この現象はよく知られているにも関わらず、理科教育の視点からは、定性的な説明にとどまり、定量的な取り扱いがほとんどなされていないのが現状である。しかしながら、液体や溶液を構成する粒子（分子、イオン）概念やこれらの粒子間に働く相互作用を理解するには、体積変化に関する定量的な考察が不可欠であろう。

これまでに、著者はマイクロスケール実験と理論計算を組み合わせた手法を用いて、4種類のアルカノール（メタノール、エタノール、1-プロパノール、2-プロパノール）と水を混合した後の体積を算出し、これに伴う体積減少の定量的な取扱いとその教材化について検討した<sup>1-3)</sup>。また、溶質と溶媒からなる二成分系溶液に溶媒を加え、希釀後の溶液の体積を算出する方法を理論的に誘導した。そして、代表的な有機化合物であるD-グルコース（ブドウ糖）とスクロース（ショ糖）の水溶液を水で希釀した後の体積を算出し、これに伴う体積減少に関しても検討した<sup>4)</sup>。これに引き続き、無機化合物の水溶液を希釀した場合の体積変化に関して考察することは、教材論の視点からもたいそう興味深い。

本研究では、前報<sup>4)</sup>で誘導した計算式を代表的な無機化合物である塩化ナトリウム（NaCl）と塩化カリウム（KCl）の水溶液に適用し、これらを希釀する際の体積変化について議論した。この2種類の水溶液を研究対象にした理由は、以下の通りである。第一に、いずれの水溶液も中学校や高等学校理科の授業でよく用いられ、教員や生徒にとってもなじみ深い試薬であり、教材として適切である。第二に、用いる試薬や水溶液は毒性が低く、マイクロスケール実験の手法等を用いて実験的に検討する場合でも安全性が保証できる。第三に、カウンターイオンであるCl<sup>-</sup>が共通であるため、希釀における体積変化の規模とNa<sup>+</sup>、K<sup>+</sup>のイオン間の相違との関係が考察できる。

## 2 理 論

### 2-1 二成分系溶液の希釀後の体積

いま、それぞれ一種類の溶質（成分1）と溶媒（成分2）からなる濃度既知の溶液Aがあり、温度、圧力一定の条件で溶媒Sを加えて希釀し、濃度未知の溶液Mを調製する。その体積V<sub>M</sub>は、

$$V_M = \frac{V_A d_A + V_S d_S}{d_M} \quad (1)$$

により算出できる<sup>4)</sup>。

## 2-2 二成分系溶液の希釈後の密度と濃度

式(1)より、 $V_M$  の算出には、 $d_M$ 、 $d_A$ 、および  $d_S$  の値が必要となる。二成分系溶液の場合、その密度は溶質濃度の関数であり、つぎの経験式で表現できる。

$$d(w_1) = d_S + \sum_{i=1}^n a_i w_1^i \quad (2)$$

$w_1$  は溶質の質量分率、 $a_i$  は係数である。

溶液 M に含まれる溶質の質量分率  $w_{M,1}$  は、

$$w_{M,1} = \frac{w_{A,1} m_A}{m_A + m_S} \quad (3)$$

で求められる。 $m_A$  は溶液 A の質量、 $m_S$  は加えた溶媒 S の質量、 $w_{A,1}$  は溶液 A に含まれる溶質の質量分率である。なお、式(3)は、次式のようにも表現できる。

$$w_{M,1} = \frac{w_{A,1} V_A d_A}{V_A d_A + V_S d_S} \quad (4)$$

式(4)は、溶液 A の体積  $V_A$  に溶媒 S の体積  $V_S$  を加えて調製した溶液 M に含まれる溶質の質量分率を意味する。式(2)に  $w_{A,1}$  や  $w_{M,1}$  を代入して  $d_A$  や  $d_M$  を算出し、得られた値を式(1)に代入すれば、希釈後の溶液 M の体積  $V_M$  を推算できる。

溶液中の溶質の濃度は質量分率  $w_1$  以外に、モル分率  $x_1$  で表現することも可能である。両者の間には、つぎの関係式が成立する<sup>5)</sup>。

$$x_1 = \frac{w_1 M_2}{w_1 M_2 + (1-w_1) M_1} = \frac{w_1 M_2}{w_1 (M_2 - M_1) + M_1} \quad (5)$$

ここで、 $M_1$ 、 $M_2$  はそれぞれ溶質、溶媒のモル質量である。

## 3 計 算

### 3-1 対象とした系とデータソース

本研究では、常圧、20°Cにおいて NaCl 水溶液および KCl 水溶液を水で希釈した場合を対象とした。すなわち、溶質が NaCl、KCl、溶媒が水に相当する。

常圧、20°Cにおける NaCl 水溶液および KCl 水溶液の密度<sup>6)</sup> および水の密度<sup>7)</sup> (0.9982067 g·mL<sup>-1</sup>) に関しては、CRC ハンドブックより引用した。最小二乗法により、 $w_1$  に対して水溶液の密度  $d$  を式(7)の 2, 3, 4 および 5 次式に回帰し、係数  $a_i$  を算出した。ただし、 $d_S$  は水の密度に相当するので、 $d_S = 0.9982067$  g·mL<sup>-1</sup> とした。

### 3-2 希釈後の体積の推算

式(1)を用いて、NaCl 水溶液および KCl 水溶液の希釈前の体積  $V_A$  と水の体積  $V_S$  がそれぞれ、1.000 mL と 9.000 mL、3.000 mL と 7.000 mL、5.000 mL と 5.000 mL、7.000 mL と 3.000 mL、9.000 mL と 1.000 mL、すなわち、希釈前の水溶液と水の体積の合計  $V_A + V_S$  が 10.000 mL となる場合について、希釈後の体積  $V_M$  を推算した。前報<sup>4)</sup>では、 $V_A + V_S = 6.000$  mL となる場合について  $V_M$  を算出した。しかし体積変化が僅少のため分かりにくい。そこで本研究は、 $V_A +$

$V_s = 10,000 \text{ mL}$  と、やや大きく設定した。

希釈前の水溶液の質量分率  $w_1$  は、NaCl 水溶液に関しては 0 から 0.2600 (飽和水溶液)、KCl 水溶液に関しては 0 から 0.2400 (飽和水溶液) とし、0.0200 間隔で  $V_M$  を算出した。また、水溶液の密度  $d$  の算出には、式(2)を用いた。

$V_M$  を推算した順序は、以下の通りである。

- (1)  $w_{A,1}$  を式(2)に代入して  $d_A$  を算出した。
- (2)  $V_A$ 、 $V_s$ 、 $d_A$ 、 $d_s$ 、 $w_{A,1}$  を式(4)に代入して  $w_{M,1}$  を算出した。
- (3)  $w_{M,1}$  を式(2)に代入して  $d_M$  を算出した。
- (4)  $V_A$ 、 $V_s$ 、 $d_A$ 、 $d_s$ 、 $d_M$  を式(1)に代入して  $V_M$  を推算した。

## 4 結果と考察

### 4-1 水溶液の密度の濃度関数式の決定

#### 4-1-1 NaCl 水溶液

図 1 に、NaCl 水溶液の密度  $d$  の濃度依存性を示す。 $d$  は  $w_1$ 、 $x_1$  いずれに関しても単調に増加し、式(2)で回帰可能である。表 1 に、最小二乗法により  $d$  を  $w_1$  に対して回帰して得られた係数  $a_i$  と標準偏差  $\sigma$  を示す。回帰式の次数  $n$  が 3 以上の場合は、 $\sigma$  は 1 衔小さくなり、実測値をよく再現した。表 2 に、種々の  $w_1$  に対する  $d$  の文献値と計算値を示す。いずれの場合も、密度の計算値は実測値を  $10^{-2} \text{ g}\cdot\text{mL}^{-1}$  の位まで再現した。加えて、 $n$  が 3 以上の場合には、いずれの質量分率の場合でも両者は完全に一致した。

本研究の手法は計算であり、使用する各物性値の精度が高ければ、より高精度で  $V_M$  を推算できる。そこで  $V_M$  を、 $10^{-3} \text{ mL}$  の位まで算出した。そのため  $d$  の回帰式として、実測値を再現する 3 次式 (表 1 の  $n=3$ ) を採用した。4, 5次の高次式も有用ではあるが、途中の計算が煩雑になるため、使用していない。

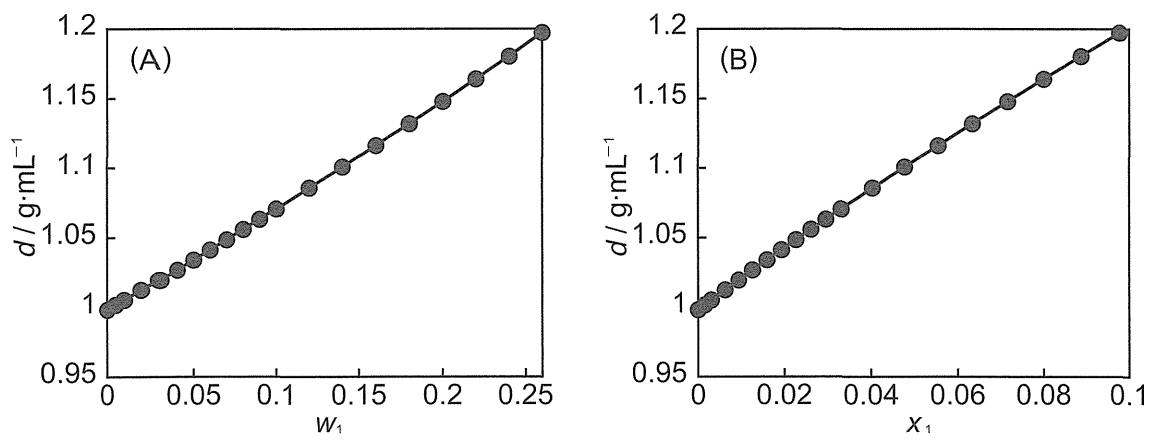


図 1 20°Cにおける NaCl 水溶液の密度

(A)  $w_1$  依存性

(B)  $x_1$  依存性

表1 NaCl 水溶液の密度  $d$  の回帰係数  $a_i$  と標準偏差  $\sigma$ 

	$a_1 / \text{g} \cdot \text{mL}^{-1}$	$a_2 / \text{g} \cdot \text{mL}^{-1}$	$a_3 / \text{g} \cdot \text{mL}^{-1}$	$a_4 / \text{g} \cdot \text{mL}^{-1}$	$a_5 / \text{g} \cdot \text{mL}^{-1}$	$\sigma / \text{g} \cdot \text{mL}^{-1}$
$n = 2$	0.69985	0.24623	—	—	—	$1.9 \times 10^{-4}$
$n = 3$	0.70990	0.11101	0.39402	—	—	$3.0 \times 10^{-5}$
$n = 4$	0.71078	0.090042	0.53615	-0.28963	—	$2.9 \times 10^{-5}$
$n = 5$	0.70989	0.12267	0.15382	1.4838	-2.8334	$3.0 \times 10^{-5}$

 $n$  : 回帰式の次数表2 NaCl 水溶液の密度  $d$  の比較

$w_1$	0.0500	0.1000	0.1200	0.1600	0.2000	0.2600
$d_{\text{obsd}} / \text{g} \cdot \text{mL}^{-1}$	1.0340	1.0707	1.0857	1.1162	1.1478	1.1972
$d_{\text{calcd}} / \text{g} \cdot \text{mL}^{-1} (n = 2)$	1.0338	1.0707	1.0857	1.1162	1.1480	1.1968
$d_{\text{calcd}} / \text{g} \cdot \text{mL}^{-1} (n = 3)$	1.0340	1.0707	1.0857	1.1162	1.1478	1.1972
$d_{\text{calcd}} / \text{g} \cdot \text{mL}^{-1} (n = 4)$	1.0340	1.0707	1.0857	1.1162	1.1478	1.1972
$d_{\text{calcd}} / \text{g} \cdot \text{mL}^{-1} (n = 5)$	1.0340	1.0707	1.0857	1.1162	1.1478	1.1972

 $w_1$  : NaCl の質量分率、 $d_{\text{obsd}}$  : 実測値<sup>6)</sup>、 $d_{\text{calcd}}$  : 計算値、 $n$  : 回帰式の次数

## 4-1-2 KCl 水溶液

図2に、KCl水溶液の密度の濃度依存性を示す。NaCl水溶液の場合と同様に、密度  $d$  の値は  $w_1$ 、 $x_1$  いずれに対しても単調に増加し、式(2)で回帰可能である。表3に、最小二乗法の手法により、 $d$  を  $w_1$  に対して回帰して得られた係数  $a_i$  と標準偏差  $\sigma$  を示す。回帰式の次数  $n$  が3以上の場合は、 $\sigma$  は1桁小さくなり、実測値をよく再現した。表4に、種々の  $w_1$  に対する  $d$  の文献値と計算値を示す。いずれの場合も、密度の計算値は実測値を  $10^{-2} \text{ g} \cdot \text{mL}^{-1}$  の位まで再現した。加えて、 $n$  が3以上の場合には、いずれの質量分率の場合でも両者は完全に一致した。そこで  $d$  の回帰式として、NaCl水溶液の場合と同様に、3次式を採用した。

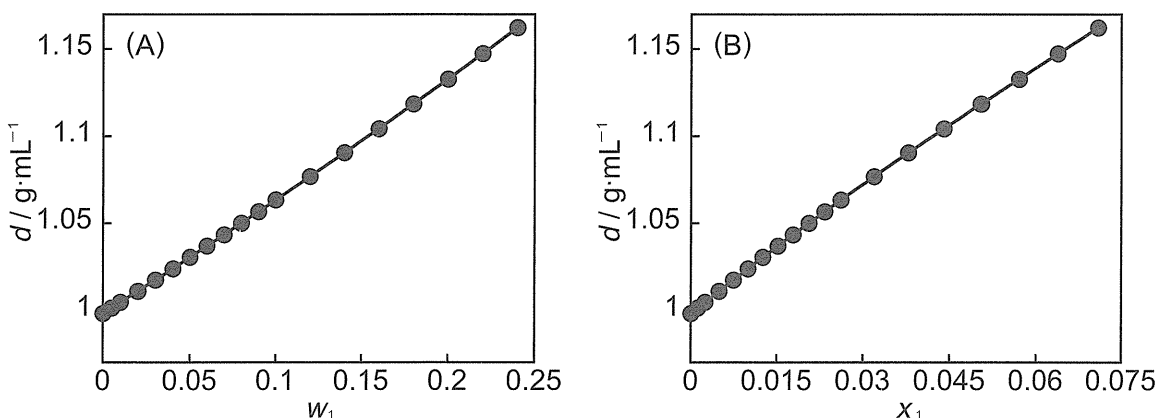


図2 20°CにおけるKCl水溶液の密度

(A)  $w_1$  依存性(B)  $x_1$  依存性

表3 KCl水溶液の密度  $d$  の回帰係数  $a_i$  と標準偏差  $\sigma$ 

	$a_1 / \text{g}\cdot\text{mL}^{-1}$	$a_2 / \text{g}\cdot\text{mL}^{-1}$	$a_3 / \text{g}\cdot\text{mL}^{-1}$	$a_4 / \text{g}\cdot\text{mL}^{-1}$	$a_5 / \text{g}\cdot\text{mL}^{-1}$	$\sigma / \text{g}\cdot\text{mL}^{-1}$
$n = 2$	0.62866	0.22460	—	—	—	$1.4 \times 10^{-4}$
$n = 3$	0.63665	0.10818	0.36687	—	—	$3.0 \times 10^{-5}$
$n = 4$	0.63787	0.076849	0.59603	-0.50475	—	$2.8 \times 10^{-5}$
$n = 5$	0.63921	0.023265	1.2778	-3.9356	5.9432	$2.8 \times 10^{-5}$

 $n$  : 回帰式の次数表4 KCl水溶液の密度  $d$  の比較

$w_1$	0.0500	0.1000	0.1200	0.1600	0.2000	0.2400
$d_{\text{obsd}} / \text{g}\cdot\text{mL}^{-1}$	1.0304	1.0633	1.0768	1.1043	1.1328	1.1623
$d_{\text{calcd}} / \text{g}\cdot\text{mL}^{-1} (n = 2)$	1.0302	1.0633	1.0769	1.1045	1.1329	1.1620
$d_{\text{calcd}} / \text{g}\cdot\text{mL}^{-1} (n = 3)$	1.0304	1.0633	1.0768	1.1043	1.1328	1.1623
$d_{\text{calcd}} / \text{g}\cdot\text{mL}^{-1} (n = 4)$	1.0304	1.0633	1.0768	1.1043	1.1328	1.1623
$d_{\text{calcd}} / \text{g}\cdot\text{mL}^{-1} (n = 5)$	1.0304	1.0633	1.0768	1.1043	1.1328	1.1623

 $w_1$  : KCl の質量分率、 $d_{\text{obsd}}$  : 実測値<sup>6)</sup>、 $d_{\text{calcd}}$  : 計算値、 $n$  : 回帰式の次数

## 4-2 希釀した水溶液の体積

### 4-2-1 NaCl 溶液

図3に、20°CにおけるNaCl水溶液の希釀後の体積を示す。いずれの場合も体積変化は僅少であった。ただし、NaClの濃度が増大するにつれて体積減少率が増大し、 $V_A = 5.000 \text{ mL}$ 、 $V_S = 5.000 \text{ mL}$ の場合に、 $V_M$ は最小値を示した。

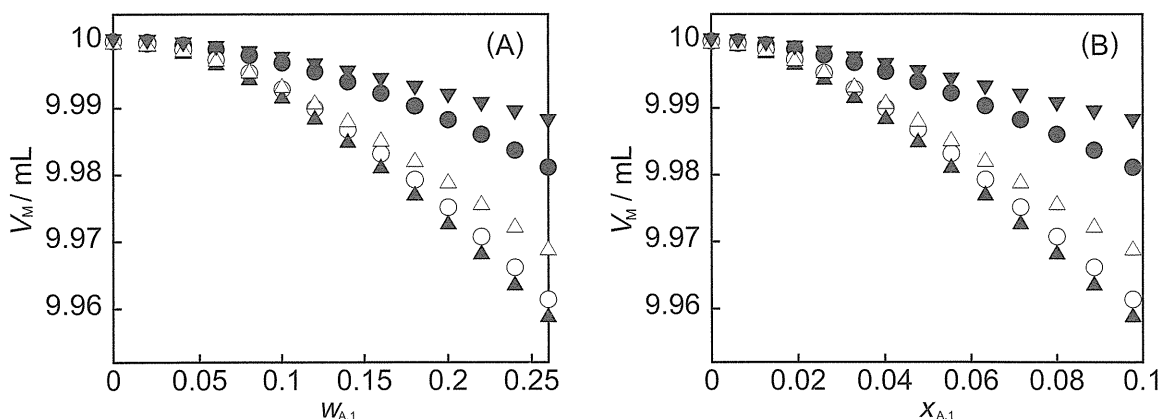


図3 20°CにおけるNaCl水溶液の希釀後の体積

#### (A) $w_{A,1}$ 依存性

● :  $V_A = 1.000 \text{ mL}$ ,  $V_S = 9.000 \text{ mL}$ , ○ :  $V_A = 3.000 \text{ mL}$ ,  $V_S = 7.000 \text{ mL}$ ,  
 ▲ :  $V_A = 5.000 \text{ mL}$ ,  $V_S = 5.000 \text{ mL}$ , △ :  $V_A = 7.000 \text{ mL}$ ,  $V_S = 3.000 \text{ mL}$ ,  
 ▽ :  $V_A = 9.000 \text{ mL}$ ,  $V_S = 1.000 \text{ mL}$ .

表 5 NaCl 水溶液を水で希釈した後の体積  $V_M$ 

$V_A/\text{mL}$	1.000	3.000	5.000	7.000	9.000
$V_S/\text{mL}$	9.000	7.000	5.000	3.000	1.000
$V_M/\text{mL} (w_{A,1}=0.1000)$	9.997	9.993	9.992	9.993	9.997
$V_M/\text{mL} (w_{A,1}=0.1400)$	9.994	9.987	9.985	9.988	9.995
$V_M/\text{mL} (w_{A,1}=0.1800)$	9.990	9.979	9.977	9.982	9.993
$V_M/\text{mL} (w_{A,1}=0.2200)$	9.986	9.971	9.969	9.976	9.991
$V_M/\text{mL} (w_{A,1}=0.2600)$	9.981	9.961	9.959	9.969	9.988

表 5 に、主な  $w_{A,1}$  における有効数字を考慮した  $V_M$  を示す。 $V_A$  と  $V_S$  を有効数字 4 桁で与え、 $d$  の有効数字は 5 桁で与えられているので、 $V_M$  は有効数字 4 桁で算出される。これらの値から、いずれの場合も、僅かではあるが有意な体積減少が認められる。しかし、 $V_A=5.000 \text{ mL}$ 、 $V_S=5.000 \text{ mL}$  の場合に最大となる  $V_M$  は 9.959 mL であり、体積減少率は 0.4% 程度である。このような微小な体積変化を、マイクロスケール実験で実測するのは困難であろう。

#### 4-2-2 KCl 水溶液

図 4 に、20°C における KCl 水溶液の希釈後の体積を示す。NaCl 水溶液の場合と同様に、いずれの場合も体積変化は僅少であり、希釈に伴い体積の加成性がほぼ成立した。ただし、KCl の濃度が増大するにつれて体積減少率が増大し、 $V_A=5.000 \text{ mL}$ 、 $V_S=5.000 \text{ mL}$  の場合に、 $V_M$  は最小値を示した。

図 3B と図 4Bにおいて、同一の  $x_{A,1}$  の値における NaCl 水溶液と KCl 水溶液の  $V_M$  の値を比較すると、 $V_A$  と  $V_S$  の体積比にかかわらず、いずれの場合も、前者のほうが小さくなっている。この原因を、つぎのように考察した。 $\text{Na}^+$ 、 $\text{K}^+$  ともにアルカリ金属元素イオンではある

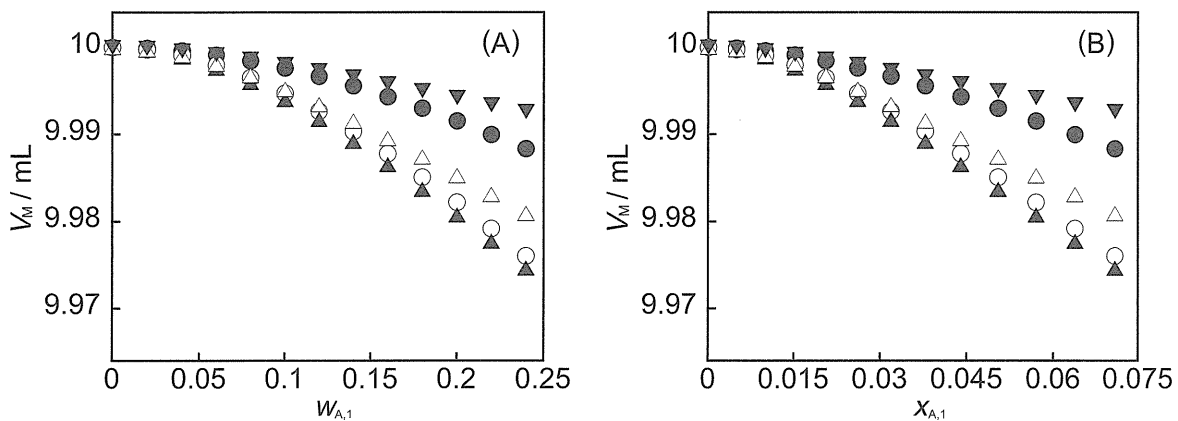


図 4 20°C における KCl 水溶液の希釈後の体積

(A)  $w_{A,1}$  依存性(B)  $x_{A,1}$  依存性

● :  $V_A = 1.000 \text{ mL}$ ,  $V_S = 9.000 \text{ mL}$ , ○ :  $V_A = 3.000 \text{ mL}$ ,  $V_S = 7.000 \text{ mL}$ ,  
 ▲ :  $V_A = 5.000 \text{ mL}$ ,  $V_S = 5.000 \text{ mL}$ , △ :  $V_A = 7.000 \text{ mL}$ ,  $V_S = 3.000 \text{ mL}$ ,  
 ▼ :  $V_A = 9.000 \text{ mL}$ ,  $V_S = 1.000 \text{ mL}$ .

表 6 KCl 水溶液を希釈した後の体積  $V_M$ 

$V_A/\text{mL}$	1.000	3.000	5.000	7.000	9.000
$V_S/\text{mL}$	9.000	7.000	5.000	3.000	1.000
$V_M/\text{mL}$ ( $w_{A,1} = 0.1000$ )	9.997	9.995	9.994	9.995	9.998
$V_M/\text{mL}$ ( $w_{A,1} = 0.1200$ )	9.997	9.993	9.992	9.993	9.997
$V_M/\text{mL}$ ( $w_{A,1} = 0.1800$ )	9.993	9.985	9.984	9.987	9.995
$V_M/\text{mL}$ ( $w_{A,1} = 0.2200$ )	9.990	9.979	9.978	9.983	9.993
$V_M/\text{mL}$ ( $w_{A,1} = 0.2400$ )	9.988	9.976	9.975	9.981	9.993

が、前者が構造形成イオンであるのに対して、後者は構造破壊イオンである<sup>8)</sup>。換言すれば、水溶液中では  $\text{Na}^+$  周囲の水分子の配列が通常の水より秩序だった配列をする（水構造が形成される）のに対し、 $\text{K}^+$  周囲の水分子の配列が通常の水より乱れた配列をとる（水構造が破壊される）。これらの水溶液を希釈すると、 $\text{Na}^+$  を含む水溶液の場合には、形成された水構造が破壊されるため、これに相当する分の体積減少が予想される。一方、 $\text{K}^+$  を含む水溶液の場合には、すでに水構造が破壊されているので、水和の寄与の減少に伴う体積減少は期待できない。

表 6 に、主な  $w_{A,1}$  における  $V_M$  を示す。これらの値から、 $V_A$  と  $V_S$  の体積比にかかわらず、いずれの場合も有意な体積減少が認められる。しかし、 $V_A = 5.000 \text{ mL}$ 、 $V_S = 5.000 \text{ mL}$  の場合に最小となる  $V_M$  は  $9.975 \text{ mL}$  で、体積減少率は  $0.3\%$  程度である。これより、マイクロスケール実験による実測は困難であろう。

## 5 おわりに

本研究では、前報で誘導した二成分系溶液の希釈後の体積  $V_M$  を算出する計算式を、 $\text{NaCl}$  水溶液および  $\text{KCl}$  水溶液について適用し、水溶液と水の体積がそれぞれ、 $1.000 \text{ mL}$  と  $9.000 \text{ mL}$ 、 $3.000 \text{ mL}$  と  $7.000 \text{ mL}$ 、 $5.000 \text{ mL}$  と  $5.000 \text{ mL}$ 、 $7.000 \text{ mL}$  と  $3000 \text{ mL}$ 、 $9.000 \text{ mL}$  と  $1.000 \text{ mL}$ 、すなわち、希釈前の水溶液と水の体積の合計が  $10.000 \text{ mL}$  となる場合について、 $V_M$  を算出した。 $\text{NaCl}$ 、 $\text{KCl}$  水溶液ともに、希釈時に軽微ではあるが、有意な体積減少が認められた。そして、水溶液の濃度や希釈の割合にかかわらず、前者の体積減少率の方が、後者のそれよりも大きな値を示した。しかし、マイクロスケール実験で確認できる程度の規模ではない。

本手法は実験を伴わないため、準備や後片付け、廃液や残液の処理等も不要である。加えて、平易な計算式を用いて簡便かつ迅速に  $V_M$  を調べることが可能であり、高等学校の物理学・化学の探究活動の教材としても有用である。式(2)を用いる代りに、図 1(A)や図 2(A)を用いて直接水溶液の密度の値を読み取ることにより、中学校理科での取り扱いも可能であろう。

本研究は、JSPS 科研費 24501072 の助成を受けたものである。

## 文献

- 1) 中川徹夫、「液体の混合に関するマイクロスケール化学実験—エタノール—水の混合に伴う体積減少

- 一」, 理科の教育, **56**(8), 566–569 (2007).
- 2) 中川徹夫, 「アルカノール—水混合物の体積: 密度または過剰体積から算出した計算値とマイクロスケール実験による実測値との比較」, 神戸女学院大学論集, **57**(2), 99–107 (2010).
- 3) T. Nakagawa, "Microscale Experiment on Decreases in Volume when Forming Binary Liquid Mixtures: Four Alkanol Aqueous Solution," *Chemical Education and Sustainability in the Global Age (Proceedings of 21<sup>st</sup> International Conference on Chemical Education)*, Springer, Dordrecht, 2013, pp. 335–346.
- 4) 中川徹夫, 「二成分系水溶液の希釀に伴う体積変化に関する考察(1) —推算式の誘導とD-グルコース水溶液およびスクロース水溶液への適用—」, 神戸女学院大学論集, **59**(2), 93–102 (2012).
- 5) T. Nakagawa, "Concentration Units on the Table," *Educ. Chem.*, **35**(4), 108–109 (1998).
- 6) W. M. Haynes (ed.), "Concentrative Properties of Aqueous Solutions: Density, Refractive Index, Freezing Point Depression, and Viscosity" *CRC Handbook of Chemistry and Physics*, 93rd Edition, CRC Press, Boca Raton, 2012, Section 5, pp. 123–148.
- 7) W. M. Haynes (ed.), "Standard Density of Water," *CRC Handbook of Chemistry and Physics*, 93<sup>rd</sup> Edition, CRC Press, Boca Raton, 2012, Section 6, pp. 7–8.
- 8) 上平恒, 「水の分子工学」, 講談社, 東京, 1998年, 4章, pp. 78–119.

(原稿受理日 2013年2月26日)